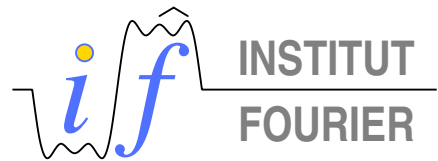


Systèmes Dynamiques Quantiques

Projet du pôle MSTIC de l'UJF

Alain JOYE



Thèmes et participants

- Systèmes quantiques ouverts (états stationnaires hors équilibre, décoherence, systèmes d'interactions répétées,...)
- Dynamique adiabatique (pompage de charge, lindbladiens non-stat, ...)
- Modèles stochastiques (systèmes dynamiques aléatoires, bruits quantiques,...)
- Dynamiques effectives (échelles de temps, au delà de l'approximation markovienne, Maxwell-Bloch, semi-classique...)

IF / LPMMC	Syst. ouverts	Mod. aléatoires	Adiabatique	Dyn. effect.
Didier N.				X
Dumas E.				X
Faure F.	X			X
Hekking F.			X	X
Joye A.	X	X	X	X
Spehner D.	X	X	X	X
Vargas R.	X			
Vogelsberger S.	X			X

Actions

● Travaux en cours

- Asch, Bourget, Joye: “*About the Chalker-Coddington Model*”.
- Brosco, Hekking, Joye: “*Mathematical adiabatic charge pumping*”.
- Bruneau, Joye, Merkli: “*Leaky Repeated Interaction Quantum Systems*”.
- Castella, Dumas: “*Relaxation in Bloch model: convergence to Schroedinger-Boltzmann system*”.
- De Roeck, Spehner: “*Weak coupling limit for spacially extended system coupled to a free boson bath*”.
- Faure, Panati, De Nittis: “*Bloch electrons with magnetic field: Peierls substitution and duality formula for the topological conductivity*”
- Hamza, Joye, Stolz: “*Dynamical Localization for Unitary Anderson Models*”.
- Orzag, Spehner: “*Entanglement sudden death for non markovian dynamics*”
- Spehner: “*Perturbative convolutionless master equations for open systems: justification of the Bloch-Redfield equation.*”
- Volgelsberger: “*Loss of entanglement for harmonic oscillators coupled to heat baths*”.

● Animation scientifique

- École thématique “*Aspects de la dynamique quantique*”, 3-7/11/08,
Org. : A Joye, F Hekking.
- Journées *Systèmes Ouverts*, mars 2009, Org. : A Joye

Actions

● Publications

- Brosco, Fazio, Hekking, Joye: "Non-abelian superconducting pumps", *Phys. Rev. Lett.* **100**, 027002, (2008).
- Bruneau, Joye, Merkli: "Random Repeated Interaction Quantum Systems" *Commun. Math. Phys.*, **284**, (2008), p. 553-581.
- Faure, Roy, Sjöstrand: "Semi-classical approach for Anosov diffeomorphisms and Ruelle resonances" *Open Math. Journal*, **1**, 35–81, (2008).
- Joye: "Repeated Interaction Quantum Systems: Deterministic and Random" *Proc. of QMath10, World Scientific*, 2008
- Rebolledo, Spehner: *Adiabatic limits and decoherence*, in: "Stochastic Analysis and Mathematical Physics" *Proc. of a sat. conf. of ICM 2006, World Scientific*, 2008
- Spehner, Haake: *Quantum measurements without macroscopic superpositions*, *Phys. Rev. A* **77** (2008), 052114.
- Spehner, Haake: *Decoherence bypass of macroscopic superpositions in quantum measurement*, *J. Phys. A: Math. Theor.* **41** (2008), 072002.
- Vargas: "Repeated interaction quantum systems: Van Hove Limits and Asymptotic States", *J. Stat. Phys.* **133**, (2008), p. 491-511.

Opérateurs d'Anderson Unitaires et Localisation Dynamique

Eman HAMZA (MSU, Michigan, USA)

Alain JOYE (UJF, IF)

Günter STOLZ (UAB, Birmingham, USA)

Modèle d'Anderson (auto-adjoint)

Sur $\mathcal{H} = l^2(\mathbb{Z}^d)$, $\psi = \sum_{j \in \mathbb{Z}^d} \psi(j) e_j \in l^2(\mathbb{Z}^d)$, où $\{e_j\}_{j \in \mathbb{Z}^d}$ est une B.O.N.

$$H_\omega(\lambda) = \Delta_{\text{disc}} + \lambda V_\omega$$

$$(H_\omega \psi)(n) = \sum_{\{m \mid |m-n|=1\}} \psi(m) + \lambda V_\omega(n) \psi(n), \quad \lambda \in \mathbb{R}, \quad \forall n \in \mathbb{Z}^d$$

Aléatoire : $\{V_\omega(n)\}_{n \in \mathbb{Z}^d} = \{\omega(n)\}_{n \in \mathbb{Z}^d}$ variables aléatoires i.i.d. bornées
distribution $d\mu(v) = f(v)dv$, où $\text{supp } f \subset [0, 1]$ et $f \in L^\infty$

Modèle d'Anderson (auto-adjoint)

Sur $\mathcal{H} = l^2(\mathbb{Z}^d)$, $\psi = \sum_{j \in \mathbb{Z}^d} \psi(j) e_j \in l^2(\mathbb{Z}^d)$, où $\{e_j\}_{j \in \mathbb{Z}^d}$ est une B.O.N.

$$H_\omega(\lambda) = \Delta_{\text{disc}} + \lambda V_\omega$$

$$(H_\omega \psi)(n) = \sum_{\{m \mid |m-n|=1\}} \psi(m) + \lambda V_\omega(n) \psi(n), \quad \lambda \in \mathbb{R}, \quad \forall n \in \mathbb{Z}^d$$

Aléatoire : $\{V_\omega(n)\}_{n \in \mathbb{Z}^d} = \{\omega(n)\}_{n \in \mathbb{Z}^d}$ variables aléatoires i.i.d. bornées
distribution $d\mu(v) = f(v)dv$, où $\text{supp } f \subset [0, 1]$ et $f \in L^\infty$

$d = 1$:

$$H_\omega(\lambda) \simeq \begin{pmatrix} & & & & \\ & \ddots & & & \\ & & 1 & & \\ & 1 & \lambda V_\omega(-1) & 1 & \\ & & 1 & \lambda V_\omega(0) & 1 \\ & & & 1 & \lambda V_\omega(1) & 1 \\ & & & & 1 & \lambda V_\omega(2) & 1 \\ & & & & & 1 & \ddots & \\ & & & & & & & \end{pmatrix}$$

Modèle d'Anderson

- Potentiel

V_ω est diagonal, **pure point**, $\sigma(V_\omega) = \sigma_{\text{p.p.}}(V_\omega) = \overline{\{V_\omega(n) \mid n \in \mathbb{Z}^d\}}$

- Laplacien

$\Delta_{\text{disc}} = \Delta_1 + \Delta_2 + \cdots + \Delta_d$, $[\Delta_j, \Delta_k] = 0$ est t.q.

$\Delta_{\text{disc}} \simeq \sum_j 2 \cos(x_j)$, $x_j \in [0, 2\pi]$ est **absolument continu**

$\sigma(\Delta_{\text{disc}}) = \sigma_{\text{a.c.}}(\Delta_{\text{disc}}) = [-2d, 2d]$

Modèle d'Anderson

- Potentiel

V_ω est diagonal, **pure point**, $\sigma(V_\omega) = \sigma_{\text{p.p.}}(V_\omega) = \overline{\{V_\omega(n) \mid n \in \mathbb{Z}^d\}}$

- Laplacien

$\Delta_{\text{disc}} = \Delta_1 + \Delta_2 + \cdots + \Delta_d$, $[\Delta_j, \Delta_k] = 0$ est t.q.

$\Delta_{\text{disc}} \simeq \sum_j 2 \cos(x_j)$, $x_j \in [0, 2\pi]$ est **absolument continu**

$\sigma(\Delta_{\text{disc}}) = \sigma_{\text{a.c.}}(\Delta_{\text{disc}}) = [-2d, 2d]$

- Ergodicité

Si s_k décalage de $k \in \mathbb{Z}^d$ sur $\Omega = \{\omega = (\omega(n))_{n \in \mathbb{Z}^d}\}$,

il existe W_k unitaire t.q. $H_{s_k \omega}(\lambda) = W_k H_\omega(\lambda) W_k^*$.

Conséquences : $\exists \Sigma := [-2d, 2d] + \lambda \text{supp } f$ et Σ_x

t.q. $\sigma(H_\omega(\lambda)) = \Sigma$ p.s.

$\sigma_x(H_\omega(\lambda)) = \Sigma_x$ p.s.

où $x = \text{p.p., a.c., s.c.}$

Modèle d'Anderson Unitaire

Analogue unitaire du laplacien:

Sur $l^2(\mathbb{Z}^d)$

$S_1(t) \leftrightarrow \Delta_1$ défini par

$$S_1(\textcolor{blue}{t}) \simeq \begin{pmatrix} \ddots & rt & -t^2 & & \\ r^2 & -rt & & & \\ rt & r^2 & rt & -t^2 & \\ -t^2 & -tr & r^2 & -rt & \\ & & rt & r^2 & \\ & & -t^2 & -tr & \ddots \end{pmatrix} \text{ sur } l^2(\mathbb{Z})$$

où $\textcolor{blue}{t} \in (0, 1)$, et $r^2 + t^2 = 1$.

Modèle d'Anderson Unitaire

Analogue unitaire du laplacien:

Sur $l^2(\mathbb{Z}^d)$

$S_1(t) \leftrightarrow \Delta_1$ défini par

$$S_1(\textcolor{blue}{t}) \simeq \begin{pmatrix} \ddots & rt & -t^2 & & \\ r^2 & -rt & & & \\ rt & r^2 & rt & -t^2 & \\ -t^2 & -tr & r^2 & -rt & \\ & rt & r^2 & & \\ & -t^2 & -tr & \ddots & \end{pmatrix} \text{ sur } l^2(\mathbb{Z})$$

où $\textcolor{blue}{t} \in (0, 1)$, et $r^2 + t^2 = 1$.

$S(t) \leftrightarrow \Delta_{\text{disc}}$ défini sur $l^2(\mathbb{Z}^d) \simeq l^2(\mathbb{Z}) \otimes \cdots \otimes l^2(\mathbb{Z})$ par

$$S(\textcolor{blue}{t}) = S_1(\textcolor{blue}{t}) \otimes \cdots \otimes S_d(\textcolor{blue}{t}).$$

Modèle d'Anderson Unitaire

Analogue unitaire du potentiel

Sur $l^2(\mathbb{Z}^d)$

$$D_{\omega} = \text{diag}(e^{-i\theta_{\omega}(j)})_{j \in \mathbb{Z}^d} \quad \text{t.q.} \quad (D_{\omega}\psi)(n) = e^{-i\theta_{\omega}(n)}\psi(n), \quad \forall n \in \mathbb{Z}^d$$

Aléatoire : $\{\theta_{\omega}(j)\}_{j \in \mathbb{Z}^d}$ variables aléatoires i.i.d.

distribution $d\mu(\theta) = \tau(\theta)d\theta$, où $\text{supp } \tau \subset [0, 2\pi]$ et $\tau \in L^\infty$

Modèle d'Anderson Unitaire

Analogue unitaire du potentiel

Sur $l^2(\mathbb{Z}^d)$

$$D_{\omega} = \text{diag}(e^{-i\theta_{\omega}(j)})_{j \in \mathbb{Z}^d} \quad \text{t.q.} \quad (D_{\omega}\psi)(n) = e^{-i\theta_{\omega}(n)}\psi(n), \quad \forall n \in \mathbb{Z}^d$$

Aléatoire : $\{\theta_{\omega}(j)\}_{j \in \mathbb{Z}^d}$ variables aléatoires i.i.d.

distribution $d\mu(\theta) = \tau(\theta)d\theta$, où $\text{supp } \tau \subset [0, 2\pi]$ et $\tau \in L^\infty$

Modèle d'Anderson Unitaire

$$U_{\omega}(\textcolor{blue}{t}) := D_{\omega}S(\textcolor{blue}{t}) \quad \text{sur } l^2(\mathbb{Z}^d).$$

Modèle d'Anderson Unitaire

Analogue unitaire du potentiel

Sur $l^2(\mathbb{Z}^d)$

$$D_{\omega} = \text{diag}(e^{-i\theta_{\omega}(j)})_{j \in \mathbb{Z}^d} \quad \text{t.q.} \quad (D_{\omega}\psi)(n) = e^{-i\theta_{\omega}(n)}\psi(n), \quad \forall n \in \mathbb{Z}^d$$

Aléatoire : $\{\theta_{\omega}(j)\}_{j \in \mathbb{Z}^d}$ variables aléatoires i.i.d.

distribution $d\mu(\theta) = \tau(\theta)d\theta$, où $\text{supp } \tau \subset [0, 2\pi]$ et $\tau \in L^\infty$

Modèle d'Anderson Unitaire

$$U_{\omega}(\textcolor{blue}{t}) := D_{\omega}S(\textcolor{blue}{t}) \quad \text{sur } l^2(\mathbb{Z}^d).$$

Propriétés

- D_{ω} diagonal pure point, $\sigma(D_{\omega}) = \overline{\{e^{-i\theta_{\omega}(j)}, \ j \in \mathbb{Z}^d\}}$
- $S(\textcolor{blue}{t})$ est abs. continu, $\sigma(S(\textcolor{blue}{t})) = \{e^{\pm id \arccos(1 - \textcolor{blue}{t}^2(1 + \cos(y)))}, y \in [0, 2\pi)\}$
- $U_{\omega}(\textcolor{blue}{t})$ est ergodique, $\sigma(U_{\omega}(\textcolor{blue}{t})) = \exp(-i \text{supp } \tau) \sigma(S(\textcolor{blue}{t}))$ p.s.

Rem: Le paramètre $\textcolor{blue}{t}$ correspond à λ

Motivation et premières versions de U_{ω} (Bourget, Howland, J. '03 et J. '04)

Localisation

Spectrale :

- $\exists \ I \subset \mathbb{R}$ t.q. $\sigma(H_\omega(\lambda)) \cap I \subset \Sigma_{\text{p.p.}}, \text{ p.s.}$
- $\exists \ I \subset \mathbb{S}$ t.q. $\sigma(U_\omega(t)) \cap I \subset \Sigma_{\text{p.p.}}, \text{ p.s.}$

Dynamique:

- $\exists \ I \subset \mathbb{R}$ t.q. $\sup_{t \in \mathbb{R}} |\langle e_j | e^{-itH_\omega(\lambda)} P_I^\omega e_k \rangle| \leq C e^{-\gamma |j-k|}, \text{ p.s.}$
- $\exists \ I \subset \mathbb{S}$ t.q. $\sup_{n \in \mathbb{Z}} |\langle e_j | U_\omega^n(t) P_I^\omega e_k \rangle| \leq C e^{-\gamma |j-k|}, \text{ p.s.},$

où P_I^ω proj. spectral sur I de $H_\omega(\lambda)$, resp. de $U_\omega(t)$

Localisation

Spectrale :

- $\exists \ I \subset \mathbb{R}$ t.q. $\sigma(H_\omega(\lambda)) \cap I \subset \Sigma_{\text{p.p.}}, \text{ p.s.}$
- $\exists \ I \subset \mathbb{S}$ t.q. $\sigma(U_\omega(t)) \cap I \subset \Sigma_{\text{p.p.}}, \text{ p.s.}$

Dynamique:

- $\exists \ I \subset \mathbb{R}$ t.q. $\sup_{t \in \mathbb{R}} |\langle e_j | e^{-itH_\omega(\lambda)} P_I^\omega e_k \rangle| \leq C e^{-\gamma |j-k|}, \text{ p.s.}$
- $\exists \ I \subset \mathbb{S}$ t.q. $\sup_{n \in \mathbb{Z}} |\langle e_j | U_\omega^n(t) P_I^\omega e_k \rangle| \leq C e^{-\gamma |j-k|}, \text{ p.s.},$

où P_I^ω proj. spectral sur I de $H_\omega(\lambda)$, resp. de $U_\omega(t)$

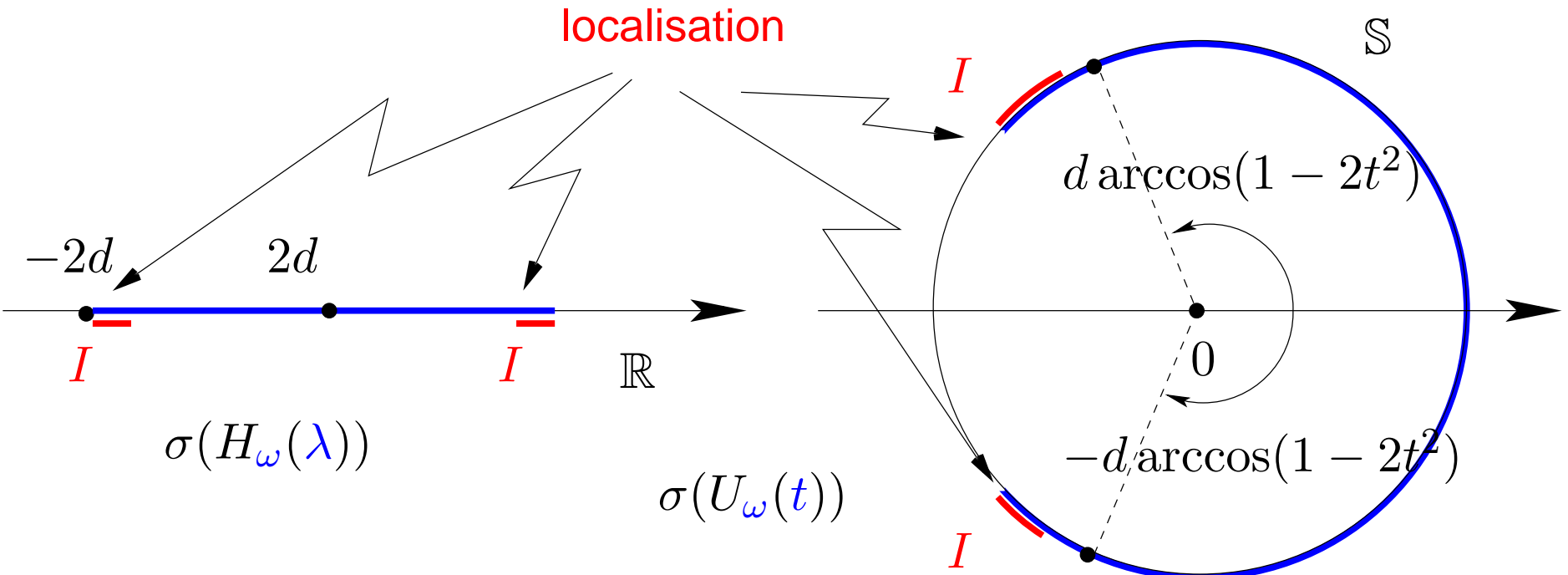
Remarques :

- Loc. dyn. \Rightarrow loc. spec. (Enss-Veselic '83)
- Loc dyn. \Rightarrow $\sup_{n \in \mathbb{Z}} \| |X|^p U_\omega^n(t) P_I^\omega \psi \| < \infty$ p.s.,
 $\forall p \in \mathbb{N}, \psi \in l^2(\mathbb{Z}^d)$, où $X e_j = j e_j, j \in \mathbb{Z}^d$.
- Si $d \geq 1$, il y a loc. spec. sur \mathbb{S} si $0 \leq t$ assez petit (J. 05)
- Si $d = 1$, il y a loc. spec. sur \mathbb{S} $\forall t \in [0, 1]$ (HJS 06)

Résultats

Théorème [HJS '08]

- Si $d = 1$, il y a loc. dyn. sur $\mathbb{S} \quad \forall t \in [0, 1)$.
- Si $d \geq 1$, il y a loc. dyn. sur \mathbb{S} si $0 \leq t$ assez petit.
- Si $d \geq 1$ et $\forall t \in [0, 1)$, il y a loc. dyn. en bord de bandes



Méthode de “Aizenman-Molchanov” ('93)

Moments fractionnaires de la résolvante :

Soit $G_\omega(j, k; z) := \langle e_j | (U_\omega(\textcolor{blue}{t}) - z)^{-1} e_k \rangle$. On montre que :

Loc. dyn. sur $\textcolor{blue}{I} \subset \mathbb{S}$ suit de l'estimation : $\exists 0 < \textcolor{blue}{s} < 1$ et $C(\textcolor{blue}{s}), \gamma(\textcolor{blue}{s}) > 0$,

$$\mathbb{E}(|G_\omega(j, k; \textcolor{red}{z})|^{\textcolor{blue}{s}}) \leq C(\textcolor{blue}{s}) e^{-\gamma(\textcolor{blue}{s})|j-k|} \quad (\text{AM})$$

pour tout $\textcolor{red}{z}$ t.q. $\arg z \in \textcolor{blue}{I}$, $|z| \neq 1$.

On montre (AM) faisant usage de

- $d = 1$ et $\forall \textcolor{blue}{t} \in [0, 1)$: positivité de l'exposant de Lyapunov
- $d \geq 1$, si $0 \leq \textcolor{blue}{t}$ petit: perturbations de rang un et lemme de découplage.
- $d \geq 1$ et $\forall \textcolor{blue}{t} \in [0, 1)$: “Queues de Lifshitz”, i.e. fluctuations spectrales fortes et densité d'états faible en bord de bandes.

Remarque : Cela complète l'analogie avec les résultats connus pour $H_\omega(\lambda)$